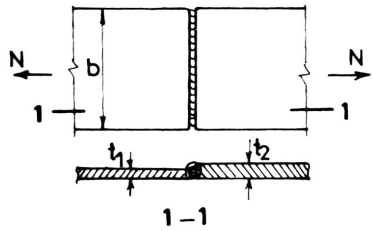


## CONSTRUCȚII METALICE

**1.** Pentru îmbinarea sudată cap la cap solicitată la întindere, din figură, verificarea tensiunii normale se face cu relația:

$$a) \sigma_s = \frac{N}{t_1 \cdot b} \leq R$$

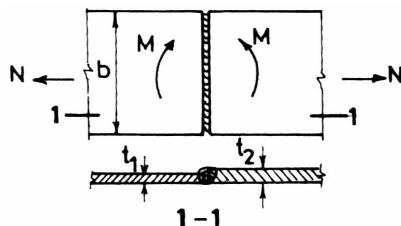


$$b) \sigma_s = \frac{N}{t_1(b - 2t_1)} \leq 0,8 R$$

$$c) \sigma_s = \frac{N}{t_2(b - 2t_2)} \leq R_t^s$$

$$d) \sigma_s = \frac{N}{t_2 \cdot b} \leq 0,8 R$$

**2.** Pentru îmbinarea sudată cap la cap solicitată la moment încovoiector, din figură



verificarea tensiunii normale se face cu relația:

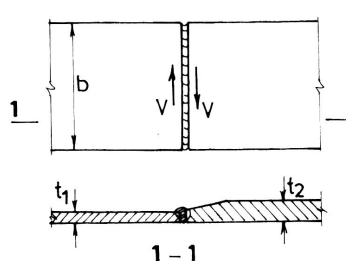
$$a) \sigma_s = \frac{N}{t_1 \cdot b} + \frac{M}{t_1 \cdot b^2} \leq R ; \quad \frac{6}{6}$$

$$b) \sigma_s = \frac{N}{t_1(b - 2t_1)} + \frac{6M}{t_1(b - 2t_1)^2} \leq 0,8 R$$

$$c) \sigma_s = \frac{N}{t_2 \cdot b} + \frac{6M}{t_2 \cdot b^2} \leq 0,8 R ;$$

$$d) \sigma_s = \frac{N}{t_2(b - 2t_2)} + \frac{6M}{t_2(b - 2t_2)^2} \leq R_t^s$$

**3.** Pentru îmbinarea sudată cap la cap solicitată de o forță tăietoare, din figură, verificarea tensiunii tangențiale se face cu relația:



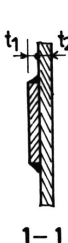
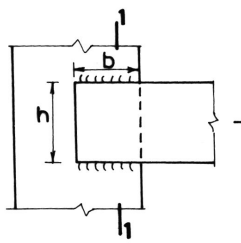
$$a) \tau_s = \frac{V}{t_1 \cdot b} \leq R_f^s$$

$$b) \tau_s = \frac{V}{t_1(b - 2t_1)} \leq 0,6 R$$

$$c) \tau_s = \frac{V}{t_2(b - 2t_2)} \leq R_f^s$$

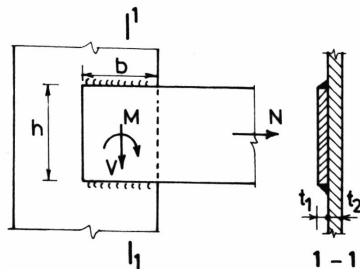
$$d) \tau_s = \frac{V}{t_2 \cdot b} \leq 0,6 R$$

4. Pentru cusăturile de sudură în relief laterale, de grosime  $a$ , solicitate de o forță axială, din figură, verificarea la forfecare se face cu relația:



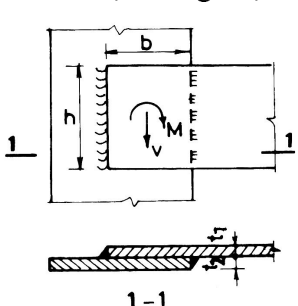
- a)  $\tau_s = \frac{N}{a \cdot b} \leq R_f^s$   
 b)  $\tau_s = \frac{N}{a(b - 2a)} \leq R$   
 c)  $\tau_s = \frac{N}{2a(b - 2a)} \leq R_f^s$   
 d)  $\tau_s = \frac{N}{2a \cdot b} \leq 0,7 R$

5. Pentru cusăturile de sudură în relief laterale, cu grosimea  $a$ , solicitate la moment încovoiector și forță tăietoare, din figură, verificarea de rezistență se face cu relația:



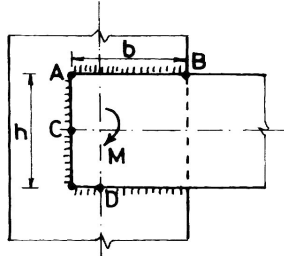
- a)  $\sqrt{\left(\frac{V}{2a \cdot b}\right)^2 + \left(\frac{M/h}{2a \cdot b}\right)^2} \leq R_f^s$   
 b)  $\sqrt{\left(\frac{V}{2a(b - 2a)}\right)^2 + \left(\frac{M/h}{2a(b - 2a)}\right)^2} \leq R_f^s$   
 c)  $\sqrt{\left(\frac{V}{a \cdot b}\right)^2 + \left(\frac{M/h}{a \cdot b}\right)^2} \leq 0,7 R$   
 d)  $\sqrt{\left(\frac{V}{a(b - 2a)}\right)^2 + \left(\frac{M/h}{a(b - 2a)}\right)^2} \leq 0,7 R$

6. Pentru îmbinarea cu cordoane de sudură în relief frontale, solicitate la moment încovoiector și forță tăietoare, din figură, verificarea de rezistență se face cu relația:



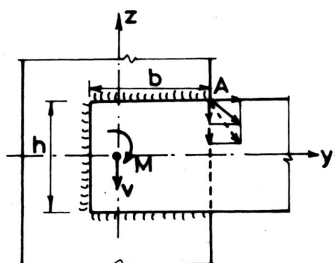
- a)  $\frac{V/2 + M/b}{a \cdot h} \leq R_f^s$  ;  
 b)  $\frac{V}{2a \cdot h} + \frac{M}{b \cdot a \cdot h} \leq 0,7 R$  ;  
 c)  $\frac{V/2 + M/b}{a(h - 2a)} \leq R_f^s$  ;  
 d)  $\frac{V + M}{2a \cdot h} \leq R_f^s$

7. Pentru îmbinarea cu cordoane de sudură în relief frontale și laterale, solicitată la moment încovoiector, din figură, în ce punct de pe îmbinare se verifică tensiunile maxime din momentul încovoiector ?



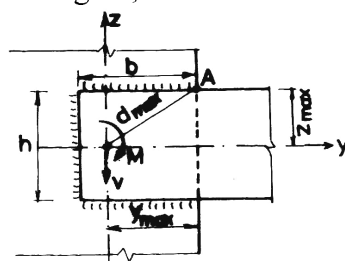
- a) A ;      b) C ;      c) B ;      d) D.

8. Pentru îmbinarea sudată cu cordoane laterale și frontale, solicitată la moment încovoiector și forță tăietoare, din figură, verificarea rezistenței cusăturilor în punctul A se face cu relația :



- a)  $\sqrt{(\tau_{s,y}^M)^2 + (\tau_{s,z}^M + \tau_{s,z}^V)^2} \leq R_f^s$   
 b)  $(\tau_{s,y}^M)^2 + (\tau_{s,z}^M + \tau_{s,z}^V)^2 \leq R_f^s$   
 c)  $\sqrt{\tau_{s,y}^M + \tau_{s,z}^M + \tau_{s,z}^V} \leq 0,7 R$   
 d)  $\sqrt{(\tau_{s,y}^M + \tau_{s,z}^M)^2 + (\tau_{s,z}^V)^2} \leq R_f^s$

9. Pentru îmbinarea sudată cu cordoane laterale și frontale, de grosime  $a$  și lungime  $\sum l_s$ , solicitată la moment încovoiector și forță tăietoare, din figură,



verificarea rezistenței îmbinării în punctul A se face cu relația:

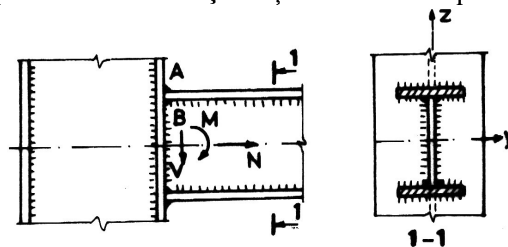
a)  $\frac{M \cdot d_{\max}}{I_{sp}} + \frac{V}{a \cdot \sum l_s} \leq R_f^s$  ;

b)  $\sqrt{\left(\frac{M \cdot z_{\max}}{I_{sy} + I_{sz}}\right)^2 + \left(\frac{M \cdot y_{\max}}{I_{sy} + I_{sz}} + \frac{V}{a \cdot \sum l_s}\right)^2} \leq R_f^s$

c)  $\sqrt{\left(\frac{M \cdot z_{\max}}{I_{sp}} + \frac{M \cdot y_{\max}}{I_{sp}}\right)^2 + \left(\frac{V}{a \cdot \sum l_s}\right)^2} \leq 0,7 R$

d)  $\sqrt{\left(\frac{M \cdot z_{\max}}{I_{sy} + I_{sz}} + \frac{M \cdot y_{\max}}{I_{sy} + I_{sz}}\right)^2 + \frac{V}{a \cdot \sum l_s}} \leq R_f^s$

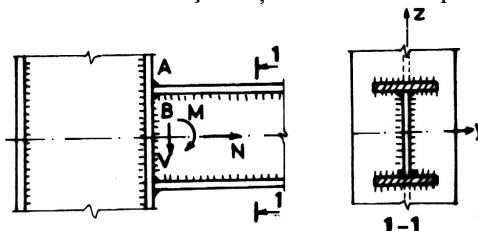
- 10.** Pentru îmbinarea cu suduri în relief, de grosime  $a$  și lungime  $\sum l_s$ , solicitată la moment încovoiector și forță axială perpendicular pe planul îmbinării și forță tăietoare în planul îmbinării, din figură,



verificarea rezistenței cusăturilor, ce prind grinda de stâlp în punctul **A**, se face cu relația:

- a)  $\frac{M}{I_{sy}} \cdot z_{\max} + \frac{N}{A_s} \leq R_f^s$  ;      b)  $\frac{M}{W_{sy}} + \frac{N}{a \sum l_s} \leq R_f^s$  ;  
 c)  $\frac{M}{I_{sy}} \cdot z_{\max} + \frac{N}{I_{sy}} \cdot y_{\max} \leq R_f^s$  ;      d)  $\frac{M}{W_{sy}} + \frac{N}{W_{sz}} \leq 0,7 R$

- 11.** Pentru îmbinarea cu suduri în relief, de grosime  $a$  și lungime  $\sum l_s$ , solicitată la moment încovoiector și forță axială perpendicular pe planul îmbinării și forță tăietoare în planul îmbinării, din figură



verificarea rezistenței cusăturilor ce prind grinda de stâlp în punctul **B** se face cu relația:

- a)  $(\tau_{sB}^M + \tau_s^N)^2 + (\tau_s^V)^2 \leq R_f^s$  ;      b)  $\sqrt{(\tau_{sB}^M + \tau_s^N)^2 + (\tau_s^V)^2} \leq R_f^s$  ;  
 c)  $\tau_{sB}^M + \tau_s^N + \tau_s^V \leq R_f^s$  ;      d)  $(\tau_{sB}^M + \tau_s^N + \tau_s^V)^2 \leq 0,7 R$

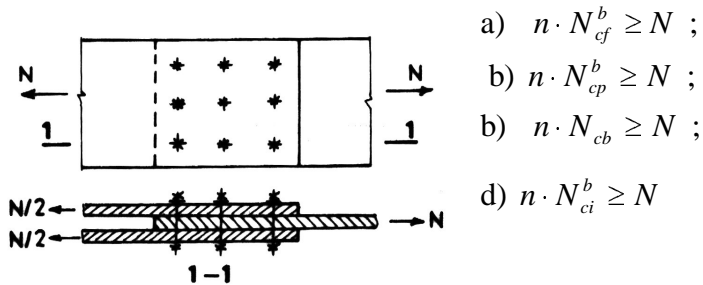
- 12.** Suruburile dintr-o îmbinare solicitată la forță axială în planul îmbinării pot prelua:

- a) eforturi care tend să producă alunecarea relativă a pieselor;  
 b) eforturi care produc forfecarea tijei în secțiunea corespunzătoare suprafeței de separație dintre piese;  
 c) eforturi care produc strivirea peretelui găurii de către tija surubului;  
 d) eforturi care tend să producă desprinderea pieselor.

- 13.** Efortul capabil al unui surub obișnuit dintr-o îmbinare solicitată de o forță ce acționează în planul îmbinării, este:

- a)  $N_{cf}^b = n_f \frac{\pi d^2}{4} R_f^b$  ;      b)  $N_{ci}^b = \frac{\pi d_0^2}{4} R_i^b$  ;  
 c)  $N_{cb} = \min(N_{cf}^b, N_{cp}^b)$  ;      d)  $N_{cp}^b = d \sum_{\min} t \cdot R_p^b$

**14.** Pentru îmbinarea cu șuruburi obișnuite, solicitată la forță axială, din figură, numărul total al șuruburilor n se determină din condiția:



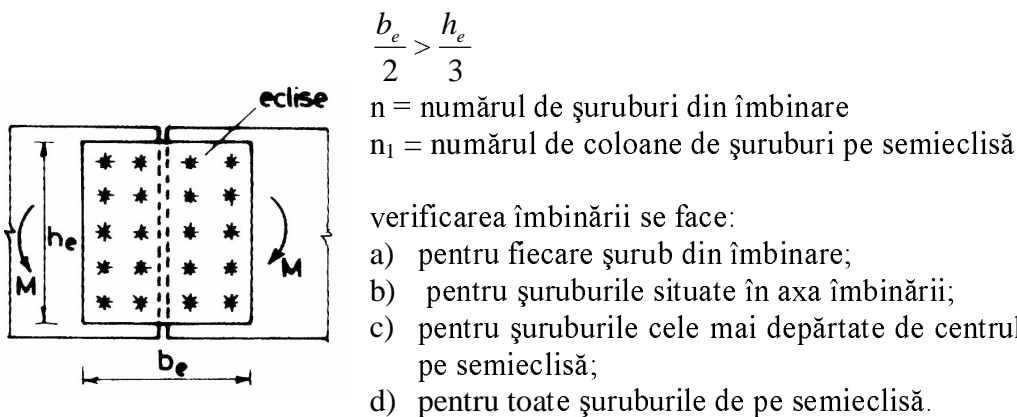
$$a) n \cdot N_{cf}^b \geq N ;$$

$$b) n \cdot N_{cp}^b \geq N ;$$

$$c) n \cdot N_{cb}^b \geq N ;$$

$$d) n \cdot N_{ci}^b \geq N$$

**15.** Pentru îmbinarea cu șuruburi obișnuite, solicitată la moment încovoiector în planul îmbinării, din figură,



$$\frac{b_e}{2} > \frac{h_e}{3}$$

$n$  = numărul de șuruburi din îmbinare

$n_1$  = numărul de coloane de șuruburi pe semieclisă

verificarea îmbinării se face:

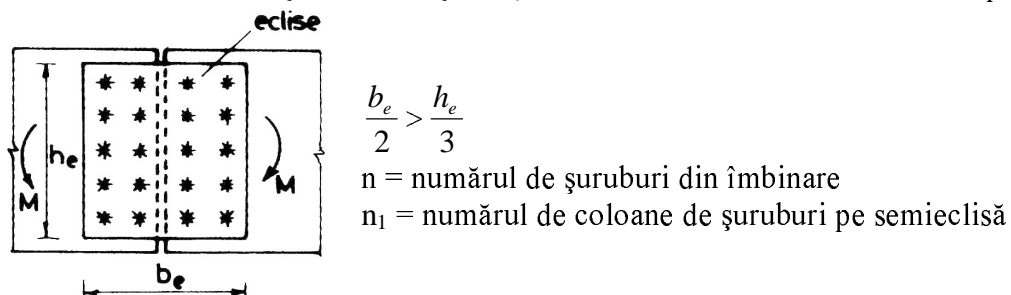
a) pentru fiecare șurub din îmbinare;

b) pentru șuruburile situate în axa îmbinării;

c) pentru șuruburile cele mai depărtate de centrul de greutate al îmbinării de pe semieclisă;

d) pentru toate șuruburile de pe semieclisă.

**16.** Pentru îmbinarea cu șuruburi obișnuite, solicitată la moment încovoiector în planul îmbinării, din figură

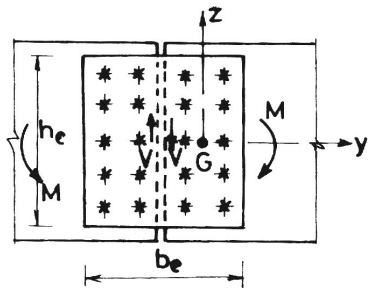


verificarea celui mai solicitat șurub se face cu relația:

$$a) \sqrt{\left( \frac{M \cdot z_{\max}}{\sum(z_i^2 + y_i^2)} \right)^2 + \left( \frac{M \cdot y_{\max}}{\sum(z_i^2 + y_i^2)} \right)^2} \leq N_{cb} ; \quad b) \left( \frac{M \cdot z_{\max}}{z_i^2 + y_i^2} + \frac{M \cdot y_{\max}}{z_i^2 + y_i^2} \right)^2 \leq N_{cb}$$

$$c) \sqrt{\left( \frac{M \cdot y_{\max}}{\sum(z_i^2 + y_i^2)} \right)^2 + \left( \frac{M \cdot y_{\max}}{\sum(z_i^2 + y_i^2)} \right)^2} \leq \min(N_{cf}^b, N_{cp}^b) \quad d) \sqrt{\left( \frac{M \cdot z_{\max}}{n_1 \sum z_i^2} \right)^2 + \left( \frac{M \cdot y_{\max}}{n_1 \sum z_i^2} \right)^2} \leq N_{cb}$$

17. Pentru îmbinarea cu șuruburi obișnuite, solicitată la moment încovoiector și forță tăietoare în planul îmbinării, din figură,



$$\frac{b_e}{2} < \frac{h_e}{3}$$

$n$  = numărul de șuruburi de pe semieclisă

$n_1$  = numărul de coloane de șuruburi pe semieclisă

verificarea celui mai solicitat șurub se face cu relația:

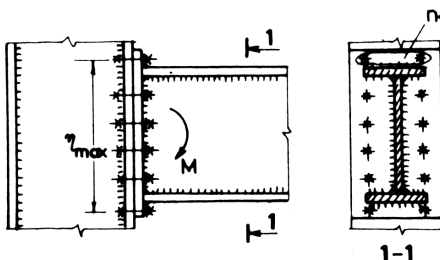
a)  $\sqrt{\left(\frac{M \cdot z_{\max}}{\sum(z_i^2 + y_i^2)}\right)^2 + \left(\frac{M \cdot y_{\max}}{\sum(z_i^2 + y_i^2)} + \frac{V}{n}\right)^2} \leq N_{cb};$

b)  $\sqrt{\left(\frac{M \cdot z_{\max}}{\sum(y_i^2 + z_i^2)}\right)^2 + \left(\frac{M \cdot y_{\max}}{\sum(z_i^2 + y_i^2)} + \frac{V}{n_1 \cdot n}\right)^2} \leq N_{cb}$

c)  $\sqrt{\left(\frac{M \cdot z_{\max}}{n_1 \cdot \sum z_i^2}\right)^2 + \left(\frac{V}{n_1}\right)^2} \leq N_{cb}$

d)  $\sqrt{\left(\frac{M \cdot z_{\max}}{n_1 \cdot \sum z_i^2}\right)^2 + \left(\frac{M \cdot y_{\max}}{n_1 \cdot \sum y_i^2} + \frac{V}{n_1 \cdot n}\right)^2} \leq N_{cb}$

18. Pentru îmbinarea cu  $n$  șuruburi obișnuite, solicitată la moment încovoiector perpendicular pe planul îmbinării, din figură, verificarea îmbinării se face cu relația:



a)  $\frac{M \cdot \eta_{\max}}{n \cdot \sum \eta_i^2} \leq N_{cb};$     b)  $\frac{M \cdot \eta_{\max}}{n_1 \cdot \sum \eta_i^2} \leq N_{ci}^b;$     c)  $\frac{M \cdot \eta_{\max}}{n \cdot \sum \eta_i} = \frac{\pi d_0^2}{4} \cdot R_i^b;$     d)  $\frac{M \cdot \eta_{\max}}{n_1 \cdot \sum \eta_i^2} \leq N_{cb}$

19. Capacitatea portantă a unei îmbinări cu șuruburi de înaltă rezistență pretensionate este:

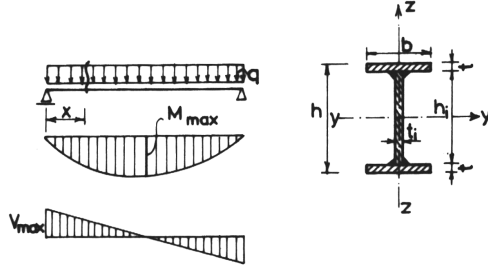
a)  $N_{SIRP} = n \cdot n_F \cdot m \cdot f \cdot 0,8A_0R_c;$     b)  $N_{SIRP} = \min(N_{cf}^b, N_{cp}^b);$

c)  $N_{SIRP} = N_{ci}^b$     d)  $N_{SIRP} = n_F \cdot m \cdot f \cdot N_t$

20. Șuruburile de înaltă rezistență pretensionate transmit eforturile prin:

- a) forfecare;
- b) presiune pe pereții găurii;
- c) întindere în tijă;
- d) frecarea suprafețelor pieselor în contact.

**21.** Verificarea tensiunilor echivalente la grinzi având secțiunea compusă cu inimă plină, se face cu relația:



- a)  $\sigma_{ech} = \sqrt{\left(\frac{M_{max}}{I_y} \cdot \frac{h}{2}\right)^2 + 3\left(\frac{V_{max}}{t_i \cdot h_i}\right)^2} \leq 1,1 R$  ;      b)  $\sigma_{ech} = \sqrt{\left(\frac{M_x}{I_y} \cdot \frac{h}{2}\right)^2 + 3\left(\frac{V_x}{t_i \cdot h_i}\right)^2} \leq 1,1 R$
- c)  $\sigma_{ech} = \sqrt{\left(\frac{M_x}{I_y} \cdot \frac{h_i}{2}\right)^2 + 3\left(\frac{V_x}{t_i \cdot h_i}\right)^2} \leq 1,1 R$  ;      d)  $\sigma_{ech} = \sqrt{\left(\frac{M_{max}}{I_y} \cdot \frac{h_i}{2}\right)^2 + 3\left(\frac{V_{max}}{t_i \cdot h_i}\right)^2} \leq R$

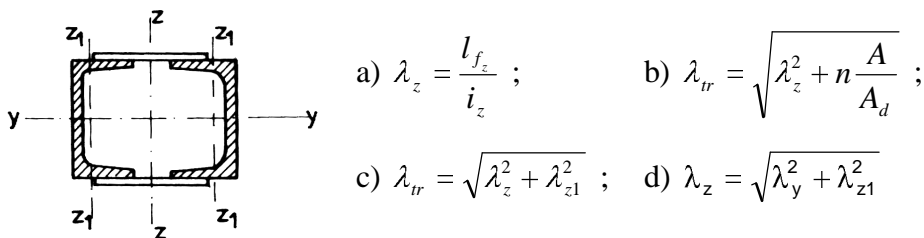
**22.** La grinzile cu secțiune compusă cu inimă plină, acționate de sarcini concentrate pe talpa superioară, se verifică tensiunile echivalente la nivelul legăturii între talpa comprimată și inimă cu relația:

- a)  $\sigma_{ech} = \sqrt{\sigma^2 + \sigma_l + 3\tau^2} \leq R$  ;      b)  $\sigma_{ech} = \sqrt{\sigma^2 + \sigma_l^2 - \sigma\sigma_l + 3\tau^2} \leq m R$  ;
- c)  $\sigma_{ech} = \sqrt{\sigma^2 + 3\tau^2} \leq m R$  ;      d)  $\sigma_{ech} = \sqrt{\sigma^2 - \sigma_l^2 + \sigma\sigma_l + 3\tau^2} \leq m R$

**23.** Grinzile cu secțiune compusă cu inimă plină, dublu T simetrice, au aria tălpiei  $A_t$  și aria inimii  $A_i$  în următoarea relație:

- a)  $A_i = A_t$  ;      b)  $A_i = 2 A_t$  ;      c)  $A_i \ll 2 A_t$  ;      d)  $A_i \gg 2 A_t$

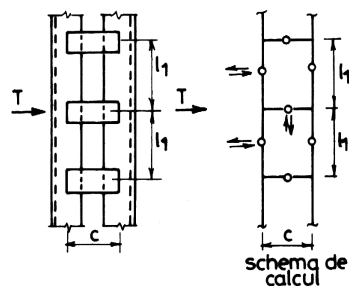
**24.** Verificarea stabilității la flambaj a stâlpului metalic cu secțiunea din figură se face utilizând coeficientul de zveltețe  $\lambda_z$ , calculat cu relația:



**25.** Pentru verificarea stabilității stâlpilor metalici cu secțiune unitară solicitati la compresiune, valorile coeficienților de flambaj se scot din curbele de flambaj în funcție de:

- a)  $\lambda_{tr}$  ;      b)  $\lambda_y$  ;  $\lambda_z$  ;      c) N/A ;      d)  $\varphi_g$

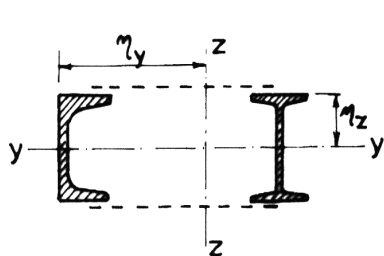
**26.** Pentru stâlpul din figură cu secțiunea compusă, solidarizată cu plăcuțe, forța tăietoare în plăcuțe este:



a)  $T_p = \frac{T \cdot l_1}{4c}$  ;      b)  $T_p = \frac{T \cdot l_1}{2c}$  ;

c)  $T_p = \frac{T_1 \cdot l_1}{4c}$  ;      d)  $T_p = \frac{T_1 \cdot l_1}{2c}$

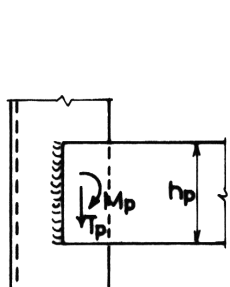
**27.** Verificarea stabilității stâlpilor metalici cu secțiune compusă, solidarizați cu zăbrele, solicitati la moment și forță axială, se face cu relația:



a)  $\frac{N}{\varphi A} + \frac{c_z \cdot M_z \cdot \eta_y}{\left(1 - \frac{\sigma}{\sigma_{cr}}\right) \cdot I_z} \leq R$       b)  $\frac{N}{A} + \frac{c_z \cdot M_z \cdot \eta_z}{\left(1 - \frac{\sigma}{\sigma_{cr}}\right) \cdot I_y} \leq 1,1R$

c)  $\frac{N}{\varphi_g A} + \frac{c_z \cdot M_z \cdot \eta_y}{\varphi_g \left(1 - \frac{\sigma}{\sigma_{cr}}\right) \cdot I_z} \leq R$       d)  $\frac{N}{\varphi A} + \frac{M_z \cdot \eta_y}{\varphi_g \cdot I_z} \leq 1,1R$

**28.** Prinderea cu sudură în relief, de grosime  $a$ , a unei plăcuțe de solidarizare de ramura stâlpului se verifică cu relația:



a)  $\frac{6M_p}{a \cdot h_p^2} + \frac{T_p}{a \cdot h_p} \leq 0,7R$  ;

b)  $\sqrt{\left(\frac{6M_p}{a \cdot (h_p - 2a)^2}\right)^2 + \left(\frac{T_p}{a \cdot (h_p - 2a)}\right)^2} \leq R_f^s$

c)  $\sqrt{\frac{6M_p}{a \cdot h_p^2} + \frac{T_p}{a \cdot h_p}} \leq R_f^s$

d)  $\frac{6M_p}{a \cdot (h_p - 2a)^2} + \frac{T_p}{a \cdot (h_p - 2a)} \leq 0,7R$